



## دانشگاه الزهرا(س)

دانشکده علوم پایه

پایان نامه

جهت اخذ کارشناسی ارشد

رشته فیزیک

گرایش ماده چگال

### عنوان

بررسی اثر ابعاد نانو ساختارهای ZnO بر خواص

اپتوالکتریک

### استاد راهنما

دکتر عبدالله مرتضی علی

دانشجو

سیده زهره نگین تاجی

آبان ۱۳۸۸

## خدايا

در برابر هر آنچه انسان ماندن را به تباھي می کشاند مرا  
با نداشتن و نخواستن، روئين تن کن

## تقدیم به

پدر و مادر عزیزم که نگاه نگران، خسته و دعای خیرشان  
همواره بدرقه راهم بود

## تقدیم به

خواهر بزرگوارم و سه برادر عزیزم



تقدیری ناچیز  
به سپاس بیکران محبتشان

## قدر دانی و تشکر

شکر و سپاس فرازی را که به من قدرت اندیشیدن داد و در راه کسب علم و دانش مرا یاری کرد.

قبل از هر چیز لازم می‌دانم از استاد کرامی آقای دکتر عبدالله مرتضی علی به خاطر راهنمایی‌های ارزشمندشان تشکر کنم.

همپنین از کمک‌های بی‌دریغ (انشیویان دکتری؛ فائز سعیده، رفیانی، فائز مرجان، رجبی و فائز مطهره عین‌اله زاده صمدی سپاسگزاری می‌کنم.  
از راهنمایی‌های استاد کرامی آقای دکتر شفیع خانی و دوست بسیار عزیزم فائز، قیه ایمانی کمال تشکر را دارم.

همپنین از تمامی دوستان که هر کدام به نوعی مشوق و همراهم بودند تشکر و قدردانی می‌نمایم.



## چکیده

در این پژوهه میکرو/ نانوساختارهای ZnO بر روی زیرلایه کوارتز به روش تبخیر حرارتی در کوره رشد داده شد. ترکیبی از پودر ZnO و پودر گرافیت (با نسبت یکسان، جهت پایین آوردن دمای بخار) را داخل یک بوته کوارتز کوچک و نزدیک انتهای آن گذاشته شد و زیرلایه کوارتز را در فواصل مختلف از مرکز کوره در تیوب کوارتز کوچک قرار داده شد. سپس تیوب کوچک را درون یک تیوب بزرگ کوارتز قرار داده و گاز خنثای N<sub>2</sub> به عنوان گاز حامل بخار ZnO از سمتی که پودر قرار دارد، وارد می‌شود و کل مجموعه در دمای ۱۰۵۰°C در مدت زمان‌های مختلف تحت عملیات حرارتی قرار می‌گیرد. عوامل مؤثر بر رشد میکرو/ نانوساختارها از جمله اثر لایه کاتالیستی و مدت زمان لایه‌نشانی مورد بررسی قرار گرفت. بعد از فرایند لایه‌نشانی، جهت بررسی خواص ساختاری و همچنین مورفولوژی ساختارها از پراش اشعه X و آنالیز عکس‌های میکروسکوپ الکترونی روبشی SEM استفاده شد. سپس طیف عبوری (λ) T لایه به وسیله‌ی اسپکتروفوتومتری Carry ۵۰۰ در بازه‌ی طول موج nm ۹۰۰-۲۰۰ و در فرود تقریباً عمود بدهست آمده و با استفاده از روش Swanepoel ، خواص اپتوالکتریکی مورد تجزیه و تحلیل قرار گرفته است.

**کلید:** میکرو/ نانوساختارهای ZnO، روش Swanepoel، ثابت‌های اپتوالکتریکی

## فهرست مطالب

### فصل اول: خواص فیزیکی اکسید روی

۱	۱-۱ مقدمه
۲	۲-۱ ساختار کریستالی ZnO
۴	۲-۱ ساختار هگزاگونال ZnO
۶	۳-۱ خواص فیزیکی اکسید روی
۶	۴-۱ کاربردهای ZnO
۷	۴-۱ آینه حرارتی
۸	۴-۱ آشکارسازنوری
۸	۴-۱ فیلترهای سیگار
۸	۴-۱ وسایل آرایشی
۸	۵-۱ صنعت دارو سازی
۹	۶-۱ صنعت سرامیک
۹	۷-۱ سلول خورشیدی
۱۰	۸-۱ پیزوالکتریک
۱۲	۵-۱ ساختارهای نواری
۱۴	۶-۱ نوافع شبکه
۱۵	۷-۱ دسته بندی نانوذرات

## ۸-۱ آنالیز XRD

۱۷

## نشانی‌های لایه‌فصل دوم : روش

۲۲	۱-۲ روش‌های شیمیایی
۲۲	۲-۲ روش‌های فیزیکی
۲۳	۱-۲-۲ تبخیر گرمایی
۲۵	۲-۲-۲ اسپاترینگ
۲۶	۳-۲-۲ پوشش‌دهی یونی (Ion plating)
۲۷	۴-۲-۲ لایه‌گذاری به وسیله‌ی باریکه مولکولی (MBE)
۲۸	۵-۲-۲ تبخیر حرارتی در کوره
۳۲	۳-۲ لایه نازک
۳۲	۱-۳ ساختمان لایه نازک
۳۲	۲-۳-۲ مکانیزم رشد لایه‌های نازک
۳۳	۳-۳-۲ پارامترهای مهم لایه نازک اکسید روی
۳۶	۴-۳-۲ ویژگی‌های زیرلایه خوب

## فصل سوم : خواص اپتیکی لایه نازک

۳۹

۱-۳ مقدمه

۴۰	..... ZnO طیف عبوری لایه ۲-۳
۴۰	..... ۱-۲-۳ اثر ناخالصی در طیف عبوری لایه ZnO
۴۲	..... ۳-۳ محاسبه ضریب جذب لایه
۴۳	..... ۴-۳ محاسبه ضریب شکست
۴۵	..... ۵-۳ محاسبه ضخامت لایه
۴۵	..... ۶-۳ محاسبه ضریب خاموشی لایه
۴۷	..... ۷-۳ محاسبه گاف انرژی

## فصل چهارم بررسی نتایج تجربی

۵۰	..... ۱-۴ مقدمه
۲-۴ ۵۰	..... مراحل شتشوی زیر لایه
۵۱	..... ۳-۴ رشد نانو ساختارها
۵۲	..... ۴-۳-۴ تأثیر تغییر فاصله بین پودر واقع در مرکزکوره و زیرلایه
۵۳	..... ۴-۳-۴ تأثیر مدت زمان لایه نشانی در رشد میکرو/ نانو ساختارها
۵۶	..... ۳-۳-۴ تأثیر پخت لایه کاتالیستی
۵۸	..... ۴-۳-۴ آنالیز RD
۶۰	..... ۴-۴ بررسی خواص اپتو الکترونیکی نانو ساختارهای ZnO
۶۳	..... ۴-۴-۴ خواص اپتیکی ساختارهای ZnO
۶۳	..... ۱-۴-۴-۴ بررسی تغییرات بخش حقیقی ضریب شکست ساختارهای ZnO

۶۴	۲-۱-۴-۴ برسی تغییرات بخش موهومی ضریب شکست ساختار ZnO
۶۷	۴-۲-۴ خواص دی الکتریکی ساختارهای ZnO
۶۷	۴-۲-۴-۴ منحنی تغییرات قسمت حقیقی ضریب دی الکتریک ساختارهای ZnO
۶۸	۴-۲-۴-۴ منحنی تغییرات قسمت موهومی ضریب دی الکتریک ساختارهای ZnO
۷۰	۴-۴-۳ ضریب جذب ساختارهای ZnO
۷۳	۴-۴-۴ محاسبه گاف انرژی
۷۵	۴-۴-۴ برسی اثر تغییرات ابعاد ساختارهای ZnO بر تأثیر رسانندگی آن ها در اثر تابش نور
۷۹	نتیجه گیری و پیشنهادات
۸۱	پیوست الف
۸۲	مراجع

## فهرست شکل‌ها

### فصل اول

- ۲ ..... شکل(۱-۱) سه ساختار اکسید روی
- ۳ ..... شکل(۱-۲) نمودار انرژی بستگی بر حسب حجم
- ۴ ..... شکل (۱-۳) نمودار انرژی بستگی بر حسب حجم
- ۵ ..... شکل (۱-۴) تصاویری از ساختار ورتزیت اکسید روی
- شکل(۱-۵) طیف در صد عبوری و در صد بازتاب برای اکسید روی در طول موج های مرئی و مادون
- ۷ ..... قرمز
- ۱۰ ..... شکل(۱-۶) نمونه از کاربرد اکسید روی در سلول خورشیدی
- ۱۱ ..... شکل(۱-۷) نمونه از نانوساختارهای ZnO با خاصیت پیزوالکتریک قوی
- ۱۳ ..... شکل (۱-۸) ساختارنواری ZnO
- ۱۳ ..... شکل (۱-۹) ترازهای انرژی
- ۱۴ ..... شکل(۱-۱۰) ساختار ZnO
- شکل (۱۱-۱) flower- like (e nanocombs(d ,nano-tetrapod (c,nanotubes (b,nanowire (a)
- ۱۶.....
- ۱۷ ..... شکل(۱۲-۱) طیف XRD باپراش اشعه X برای لایه نازک ZnO و زیرلایه si
- ۱۸ ..... شکل (۱۳-۱) طیف XRD لایه های ZnO:Al و ZnO با زیرلایه شیشه

شکل (۱۴-۱) طیف XRD لایه‌های ZnO<sub>x</sub> Al<sub>2</sub>O<sub>3</sub> در دمای ۴۵۰°C به مدت ۳۰ دقیقه پخت در

۱۹ ..... مجاورت هوا

۱۹ ..... شکل (۱۵) طیف XRD لایه‌های ZnO, Al با ضخامت‌های مختلف

۲۰ ..... شکل (۱۶-۱) طیف XRD لایه ZnO با سه زیرلایه شیشه، کوارتز و (Al<sub>2</sub>O<sub>3</sub>)

## فصل دوم

۲۴ ..... شکل (۲-۱) دستگاه تبخیر گرمایی

۲۶ ..... شکل (۲-۲) دستگاه اسپاترینگ

۲۷ ..... شکل (۳-۲) دستگاه پوشش‌دهی یونی

۲۸ ..... شکل (۴-۲) شماتیکی از اجزاء دستگاه MBE

۲۹ ..... شکل (۶-۲) تبخیر حرارتی در کوره

۳۰ ..... شکل (۷-۲) ساختمان لایه نازک

۳۲ ..... شکل (۸-۲) مکانیزم رشد لایه‌های نازک

## فصل سوم

۳۹ ..... شکل (۱-۳) طیف عبوری لایه‌ها بر حسب طول موج با ضخامت‌های مختلف

۴۰ ..... شکل (۳-۱-a) طیف عبوری لایه‌های ZnO و Al<sub>2</sub>O<sub>3</sub> با زیرلایه شیشه

۴۰ ..... شکل (۳-۱-b) طیف عبوری لایه‌های Al<sub>2</sub>O<sub>3</sub> زیرلایه شیشه با ضخامت‌های مختلف

۴۱ ..... شکل (۲-۳) طیف عبوری لایه ZnO برای سه زیرلایه شیشه، کوارتز، (Al<sub>2</sub>O<sub>3</sub>)

۴۳ ..... شکل (۳-۳) مقادیر بیشینه و کمینه طیف عبور

- شکل(۴-۳) نمودار ضریب شکست لایه نازک ZnO در ضخامت های مختلف.....43
- شکل (۳-۵) نمودار ضریب خاموشی ZnO بر حسب طول موج.....45
- شکل(۶-۳) منحنی  $\alpha(hv)^2$  بر حسب  $hv$  برای زیرلایه شیشه.....47
- شکل(۷-۳) منحنی  $\alpha(hv)^2$  بر حسب  $hv$  برای سه زیرلایه شیشه، کوارتز و  $(Al_2 O_3)$ .....47
- شکل(۸-۳) نمودار شبه لگاریتمی، ضریب جذب بر حسب انرژی فوتون ( $\alpha < 10^4$ ).....48

## فصل چهارم

- شکل(۴-۱) کوره استوانه ای.....51
- شکل(۴-a-۲) نمودار دما بر حسب فاصله .....52
- شکل(۴-۲) SEM زمان ۱۵ دقیقه و فاصله ۵ سانتیمتر از مرکز کوره .....53
- شکل(۴-۳) SEM زمان ۱۵ دقیقه و فاصله ۱۰ سانتیمتر از مرکز کوره .....53
- شکل(۴-۴) SEM زمان ۳۰ دقیقه، با فاصله ۱۰ سانتیمتر از مرکز کوره .....54
- شکل(۴-۵) SEM زمان ۳۰ دقیقه، با فاصله ۱۰ سانتیمتر از مرکز کوره .....54
- شکل(۴-۶) SEM زمان ۶۰ دقیقه، با فاصله ۱۰ سانتیمتر از مرکز کوره .....54
- شکل(۴-۷) SEM زمان ۶۰ دقیقه، با فاصله ۵ سانتیمتر از مرکز کوره .....55
- شکل(۴-۸) SEM زمان ۶۰ دقیقه، با فاصله ۱۰ سانتیمتر از مرکز کوره .....55
- شکل(۴-۹) SEM زمان ۶۰ دقیقه، با فاصله ۱۰ سانتیمتر از مرکز کوره .....55
- شکل(۴-۱۰) SEM زمان ۶۰ دقیقه، با فاصله ۱۰ سانتیمتر از مرکز کوره .....55
- شکل(۴-۱۱) SEM زمان ۶۰ دقیقه، با فاصله ۱۰ سانتیمتر از مرکز کوره .....55
- شکل(۴-۱۲) SEM زمان ۳۰ دقیقه، حاوی کاتالیست طلا در دو بزرگ نمایی مختلف.....56
- شکل(۴-۱۳) SEM زمان ۱۵ دقیقه، حاوی کاتالیست طلا.....57

..... شکل(۱۴-۴) زمان ۹۰ دقیقه، حاوی کاتالیست طلا در دو بزرگ نمایی مختلف	۵۷
..... شکل(۱۵-۴) آنالیز XRD	۵۸
..... شکل(۱۶-۴) طیف عبوری اندازه گیری شد توسط دستگاه طیف سنج Carry ۵۰۰ مربوط به پنج نمونه	۶۲
..... شکل(۱۶-۴) منحنی تغییرات قسمت حقیقی ضریب شکست بر حسب انرژی موج فرودی	۶۴
..... شکل(۱۷-۴) منحنی تغییرات قسمت موهومی ضریب شکست بر حسب انرژی موج فرودی	۶۵
..... شکل (۱۶-a-۴) نمودار بالک حقیقی ضریب شکست بر حسب انرژی موج فرودی	۶۶
..... شکل (۱۶-b-۴) نمودار بالک قسمت موهومی ضریب شکست بر حسب انرژی موج فرودی	۶۶
..... شکل(۱۸-۴) منحنی تغییرات قسمت حقیقی ضریب دیالکتریک بر حسب انرژی موج فرودی	۶۷
..... شکل(۱۹-۴) منحنی تغییرات قسمت موهومی ضریب دیالکتریک بر حسب انرژی موج فرودی	۶۸
..... شکل(۱۸-a-۴) منحنی بالک تغییرات قسمت حقیقی ضریب دیالکتریک بر حسب انرژی موج فرودی	۶۹
..... شکل(۱۹-b-۴) منحنی بالک تغییرات قسمت موهومی ضریب دیالکتریک بر حسب انرژی موج فرودی	۶۹
..... شکل(۲۰-۴) منحنی تغییرات ضریب جذب برای نمونه های a,b,c,d و بر حسب انرژی موج فرودی	۷۲
..... شکل (۲۱-۴) نمودار $(h\alpha v)$ بر حسب انرژی موج فرودی	۷۳
..... شکل (۲۰-a-۴) منحنی بالک تغییرات ضریب جذب بر حسب انرژی موج فرودی	۷۴
..... شکل(۲۱-b-۴) نمودار بالک $(h\alpha v)$ بر حسب انرژی موج فرودی	۷۴
..... شکل(۲۲-۴) مدار ساده برای اندازه گیری مقاومت سطحی	۷۶

شکل(۴-۲۳) نمودار مقاومت سطحی بر حسب مدت زمان لایه نشانی

۷۸

## فهرست جدول

### فصل اول

۲.....جدول (۱-۱) جدول تناوبی

### فصل چهارم

۷۳.....جدول (۱-۴) مربوط به جریان، ولتاژ و مقاومت سطحی

۷۷.....جدول (۲-۴) ضخامت نمونه‌ها

## **Abstract**

Nanostructured ZnO thin film have been grown on quartz substrates by horizontal tube furnace. the mixed pure ZnO powder and Graphit powder (weight ratio of 1:1) Was placed in the closed end of a small quartz tube. quartz substrates were placed at definite distances away from the evaporation source in the small quartz tube ( at distances 5cm and 10cm of powder). then, the small tube was pushed into the large quartz tube with the source positioned at the center of the furnace. The whole system was heated at a rate 1.5 °c/min under a constant flow of N<sub>2</sub> gas and held at 1050° c for 15 min, 30 min and 60 min. during whole synthesis process the pressure in the tube was kept at Atmospheric pressure. After the furnace was naturally cooled to room temperatuer. After as-deposited ZnO nanostructures surface were characterized by scanning electron microscopy (SEM ).

We present the methodological framework of the Swanepoel for the spectrophotometric of optical propertie in nanostructuers and thin film usinng transmittance data. We determined the refractive index, absorption index, extinction coefficient, optical gap, constant dielectric  $\epsilon_1 = n^2 - k^2$  and  $\epsilon_2 = 2nk$  of a ZnO nanostructures thin film. then, effect of duration time deposition and catalyst-goold was considered on propertie optoelectice.



**Al-Zahra University**

**Thesis Title**

**Size effect on Optoelectronic properties of  
ZnO Nanostructures**

**Thesis Advisor**

**Dr.Abdolah Morteza Ali**

**By**

**Seyedeh Zohreh Negintaji**

**November. 2009**



## فصل اول: خواص فیزیکی اکسید روی

## ۱-۱ مقدمه

اکسید روی (ZnO) از ترکیبات دو عنصر ستون ۲ و ۶ جدول تناوبی می‌باشد که در آن روی، اتمی با عدد اتمی ۳۰ و اکسیژن اتمی با عدد اتمی ۸ می‌باشد و دارای ساختار هگزاگونال با ثابت-های شبکه‌ای  $(A^0)$  ۳.۲۵ nm یا  $(A^0)$  ۵.۲۱ nm یا  $c = ۰.۳۲۵$  nm و انرژی اکسایتون بالا (mev) ۶۰ می‌باشد که هر یون Zn به وسیله چهار یون اکسیژن و هر یون اکسیژن به وسیله چهار یون Zn به صورت چهاروجهی احاطه شده است. در حالت عادی بدون افزودن ناخالصی اکسیدروی، نیمه‌رسانای نوع n با گاف انرژی در حدود (ev) ۳.۲ می‌باشد البته مقدادر (ev) ۳.۳، (ev) ۳.۴ گزارش شده است که در فاز بی‌شکل به صورت پودر زرد رنگ و در فاز بلور شفاف می‌باشد. به علت دارا بودن گاف انرژی بالا، انرژی اکسایتون بالا و شفافیت اپتیکی بالا در ناحیه مرئی و ضریب دیالکتریک کم دارای کاربردهای وسیعی در زمینه پیزوالکتریک، سلول‌های خورشیدی، حسگرهای آینه‌های حرارتی، آشکارسازها و ... می‌باشد. لایه‌های اکسیدروی با روش‌های شیمیایی مانند رسوب شیمیایی از حمام (CBT)، اسپریبرولیز، سل ژل و ... روش‌های فیزیکی مانند اسپاترینگ، اسپاترینگ مگنترون، اسپاترینگ با پرتو یونی، اسپاترینگ تشدید سیکلوترونی الکترونی (ECR)، روش تبخیر لیزری، تبخیر اپتیکی باریکه مولکولی و ... لایه نشانی می‌شود. که در میان این روش‌ها، روش اسپاترینگ (برای کاربردهایی باکیفیت بالا)، لایه‌نشانی بخارشیمیایی الی فلز (MOCVD) و تجزیه حرارتی اسپری (برای سادگی و قیمت پایین) بیشتر مورد استفاده قرار گرفته‌اند.

در این فصل به شرح مختصری درباره‌ی ساختار، خواص فیزیکی اکسید روی، کاربردهای آن می‌پردازیم.

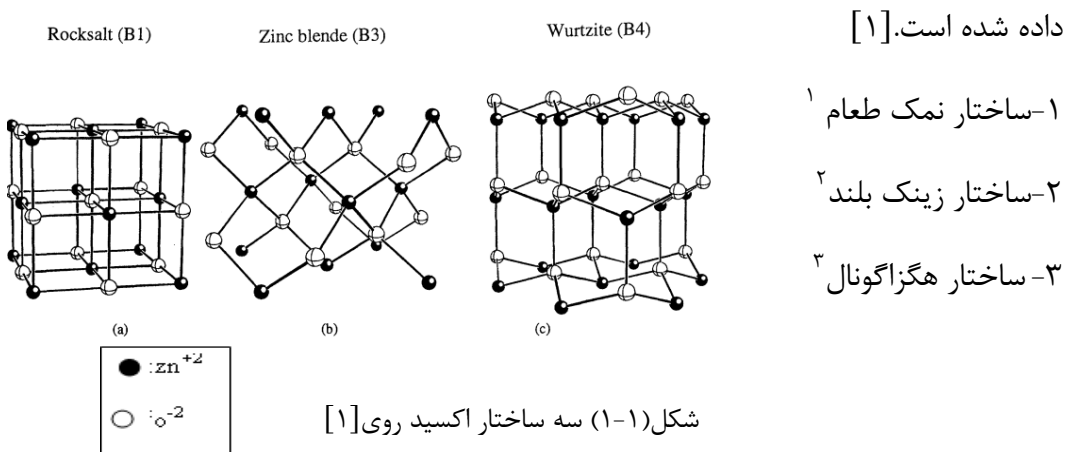
## ۲-۱ ساختار کریستالی ZnO

اکسیدروی از ترکیبات دو عنصر ستون ۲ و ۶ جدول تناوبی (جدول ۱-۱) می‌باشد که در آن روی، اتمی با عدد اتمی ۳۰ و پیکره بندی الکترونی  $1s^2 2s^2 2p^6 3s^2 3p^6 3d^{10} 4s^2$  و اکسیژن اتمی با عدد اتمی ۸ و پیکره بندی الکترونی  $1s^2 2s^2 2p^4$  می‌باشد.

جدول (۱-۱): جدول تناوبی

H	III	IV	V	VI
.	B	C	N	O
.	Al	Si	P	S
Zn	Ga	Ge	As	Se
Cd	In	Sn	Sb	Te
Hg	.	.	.	.

در حالت عادی بدون افزودن ناخالصی اکسید روی، نیمه‌رسانای نوع n با گاف نواری در حدود (ev) ۰.۳ می‌باشد. اکسید روی دارای سه ساختار در شرایط غیرمتعارف می‌باشد که در شکل (۱-۱) نشان




---

Rock salt<sup>۱</sup>  
Zinc blende<sup>۲</sup>  
Wurtzite<sup>۳</sup>